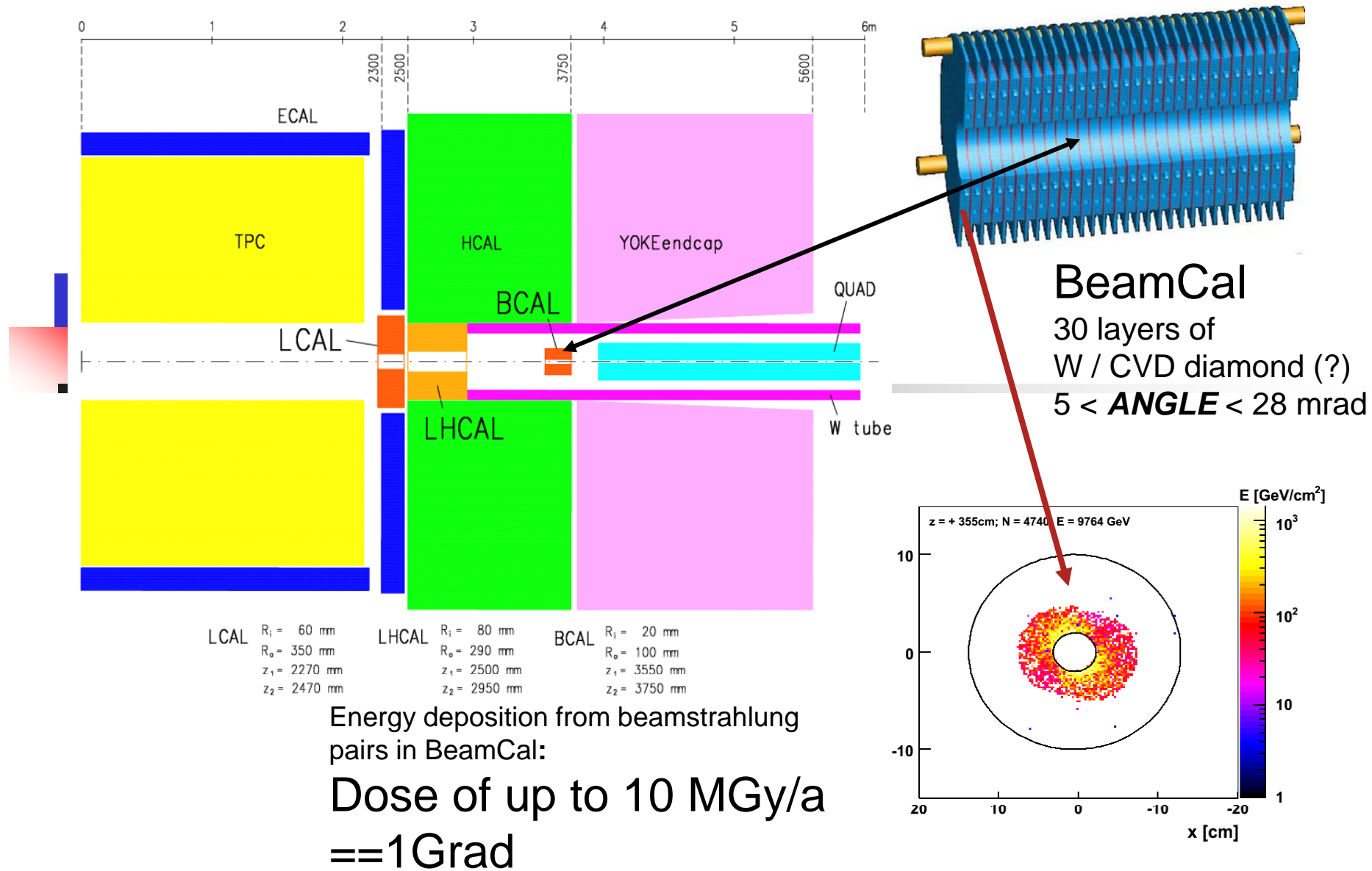
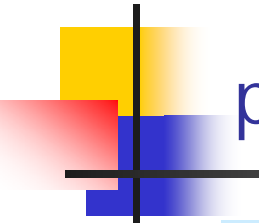


MOTIVATION FOR RADHARD SENSORS





potential candidates?

- Silicon (various type, Cz, Dofz, MCz, EPI)
- Silicon Carbide
- Diamond
- GaAs

Look for best performances in terms of :

- Signal yield
- stability , long-term behavior
- charge collection efficiency
- charge collection distance
- radiation hardness
- Easy industrial procurement
- budget

Status des matériaux durcis candidats

Property	Si	Diamond	Diamond	4H SiC
Material Quality	Cz, FZ, epi	Polycrystalline	single crystal	epitaxial
E _g [eV]	1.12	5.5	5.5	3.3
E _{breakdown} [V/cm]	3·10 ⁵	10 ⁷	10 ⁷	2.2·10 ⁶
μ _e [cm ² /Vs]	1450	1800	>1800	800
μ _h [cm ² /Vs]	450	1200	>1200	115
v _{sat} [cm/s]	0.8·10 ⁷	2.2·10 ⁷	2.2·10 ⁷	2·10 ⁷
Z	14	6	6	14/6
ε _r	11.9	5.7	5.7	9.7
e-h energy [eV]	3.6	13	13	7.6
Density [g/cm3]	2.33	3.515	3.515	3.22
Displacem. [eV]	13-20	43	43	25
e-h/μm for mips	89	36	36	55
Max initial ccd [μm]	>500	280	550	40 (= thickness)
Max wafer φ tested	6"	6"	6mm	2"
Producer	Several	Element-Six	Element-Six	Cree-Alenia, IKZ
Max f luence[cm ⁻²]	7x10 ¹⁵ 24GeV p	2x10 ¹⁵ n, π, p	Not reported	10 ¹⁶ in progress
CERN R&Ds	RD50, RD39	RD42	RD42	RD50

Material sensors

Property	Diamand	GaN	4H SiC	Si
E_g [eV]	5.5	3.39	3.26	1.12
$E_{breakdown}$ [V/cm]	10^7	$4 \cdot 10^6$	$2.2 \cdot 10^6$	$3 \cdot 10^5$
μ_e [cm^2/Vs]	1800	1000	800	1450
μ_h [cm^2/Vs]	1200	30	115	450
v_{sat} [cm/s]	$2.2 \cdot 10^7$	-	$2 \cdot 10^7$	$0.8 \cdot 10^7$
Z	6	31/7	14/6	14
ϵ_r	5.7	9.6	9.7	11.9
e-h energy [eV]	13	8.9	7.6-8.4	3.6
Density [g/cm ³]	3.515	6.15	3.22	2.33
Displacem. [eV]	43	≥ 15	25	13-20



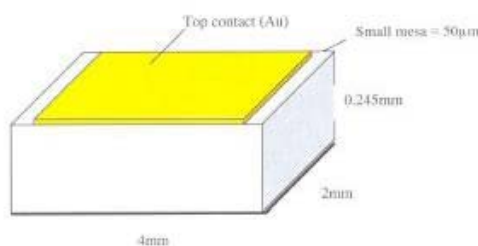
- Zone interdite bandgap (3.3eV)
 - ⇒ Courant de fuite plus faible que le silicium
- Signal:

Diamand	36 e/ μm
SiC	51e/ μm
Si	89 e/ μm

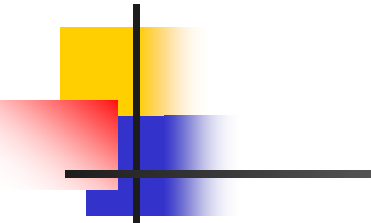
 - ⇒ Plus de charges que le diamand
- Seuil de déplacement plus élevé que pour le Si
 - ⇒ Meilleure tenue aux radiation que le Si

Recent review: P.J.Sellin and J.Vaitkus on behalf of RD50 “New materials for radiation hard semiconductor detectors”

AsGa



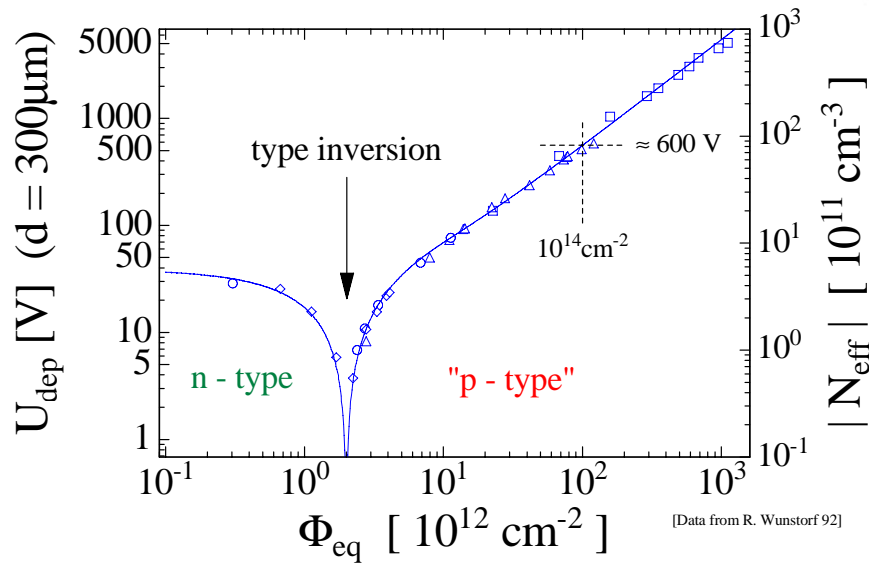
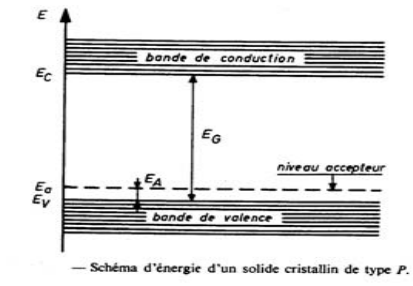
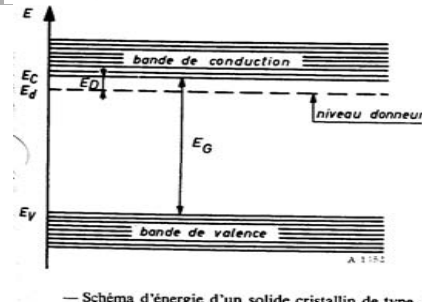
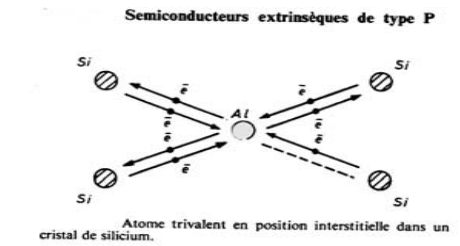
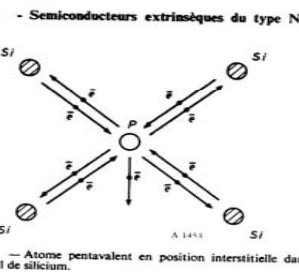
Systematic name	Gallium arsenide
Molecular formula	GaAs
Molar mass	144.645 g/mol
Appearance	Gray cubic crystals
CAS number	[1303-00-0]
SMILES	Ga#As
Physical Properties	
Density and phase	5.3176 g/cm ³ , solid.
Solubility in water	< 0.1 g/100 ml (20°C)
Melting point	1238°C (1511 K)
Boiling point	?°C (? K)
Electronic Properties	
Band gap at 300 K	1.424 eV
Electron effective mass	0.067 m _e
Light hole effective mass	0.082 m _e
Heavy hole effective mass	0.45 m _e
Electron mobility at 300 K	9200 cm ² /(V·s)
Hole mobility at 300 K	400 cm ² /(V·s)
Structure	
Molecular shape	Linear
Crystal structure	Zinc Blende



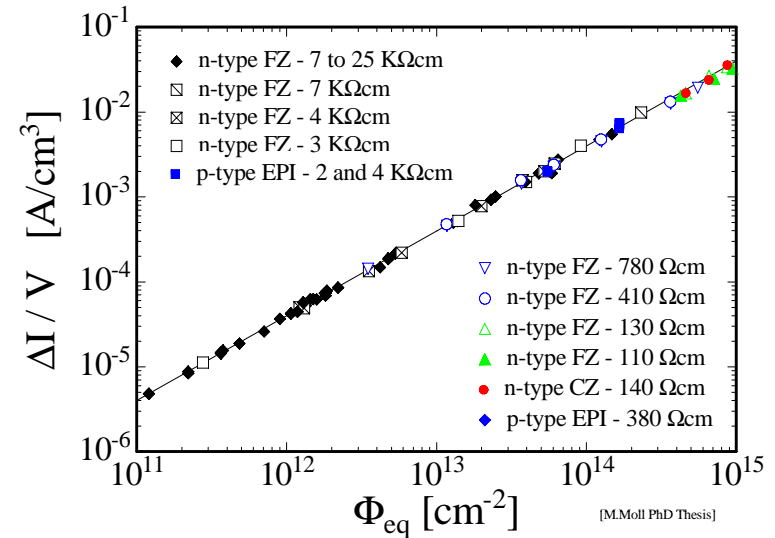
Dommages dûs à l'irradiation des Senseurs au Si

- Deux types de dommages aux irradiations aux matériaux des détecteurs
 - **dommages substrat Bulk (Crystal)** dus à perte d'énergie non ionisante (NIEL)
Non Ionizing Energy Loss (IEL)
 - déplacements , défauts dans le crystal
 - I. Changement de la concentration effective du dopage (tension de désertion plus élevée, sous-desertion)
 - II. Augmentation du courant de fuite (augmentation du bruit de grenade, bruits thermiques..)
 - III. Augmentation du taux de piégeage de porteurs de charge (perte de charges)
 - **dommages de Surface** dûs à la perte d'énergie ionisante Ionizing Energy Loss (IEL)
 - accumulation de charges positives dans oxyde (SiO_2) et entre interface Si/ SiO_2
 - affecte: capacités interpistes (bruit), claquages, ...
 - Ceci a un impact direct sur la performance et l'efficacité de collection de charge
 - ➔ conséquence sur le rapport signal/bruit !

Irradiations sévères



tension désertion, N_{eff}



Courants de fuites

Charge collection efficiency

Limitations



- partial depletion
- deep trapping levels
- type inversion

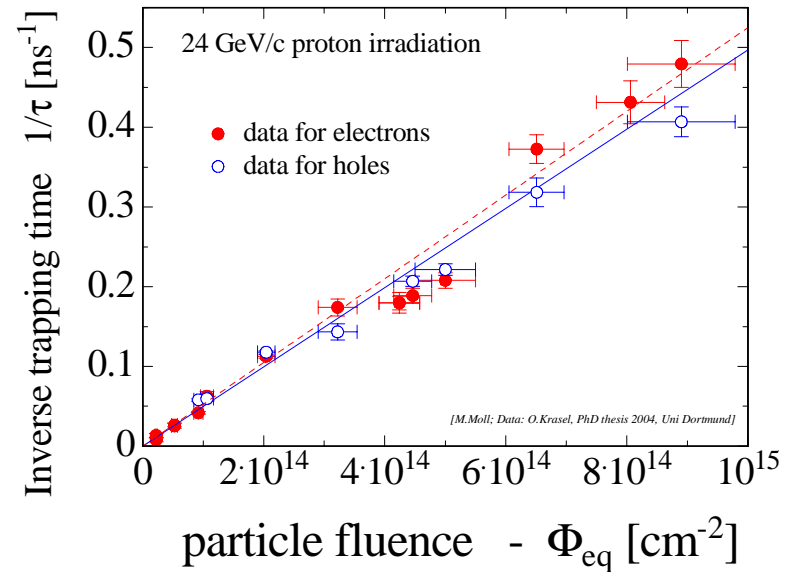
Charge collected:

$$Q = Q_o \cdot \epsilon_{dep} \cdot \epsilon_{trap}$$

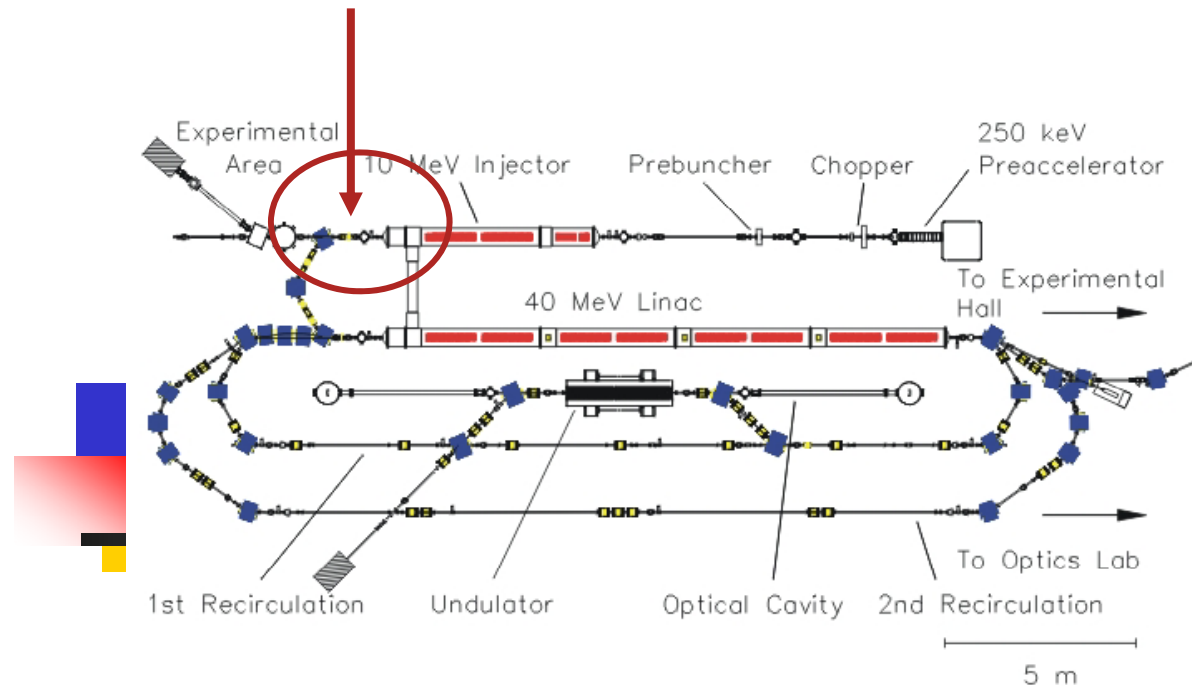
$$\epsilon_{dep} = \frac{d}{W} \quad \epsilon_{trap} = e^{-\frac{\tau_c}{\tau_t}}$$

$1/\tau_{trap}$ increase with fluence :
Krasel et al. (RD50)

W: total thickness
d: active thickness
 τ_c : Collection time
 τ_t : trapping time



TEST BEAM @ S-DALINAC



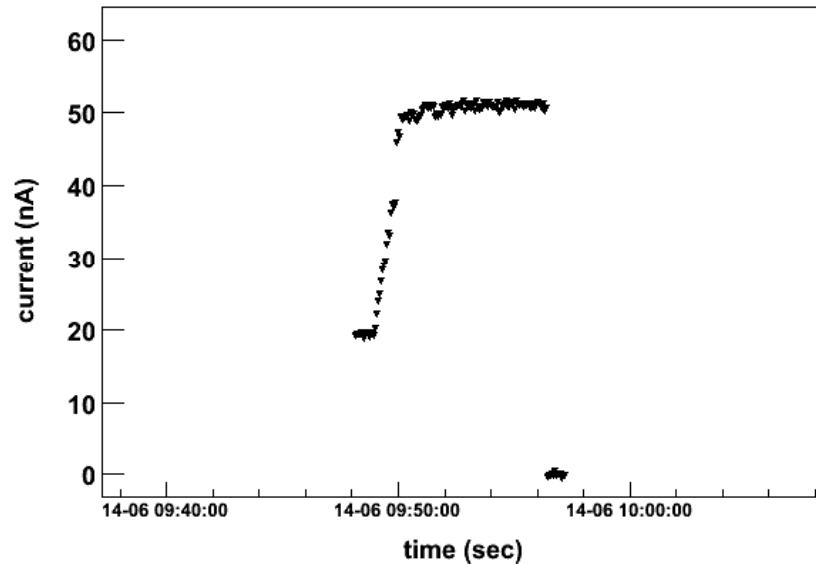
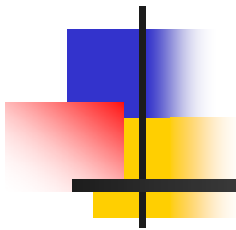
Superconducting DArmstadt LINear ACcelerator
Institut für Kernphysik, TU Darmstadt

Using the injector line of the S-DALINAC:

$10 \pm 0.015 \text{ MeV}$ and possible beam currents from $1nA$ to $50\mu A$

Beam current

- Tuned the beam to currents in the Faraday cup of:
 - 10, 20, 50 and 100 nA
- This corresponds to dose rates of:
 - 59, 118, 295 and 590 kGy/h
- Dose controlled by beam current
- Error assumed ~ 10%

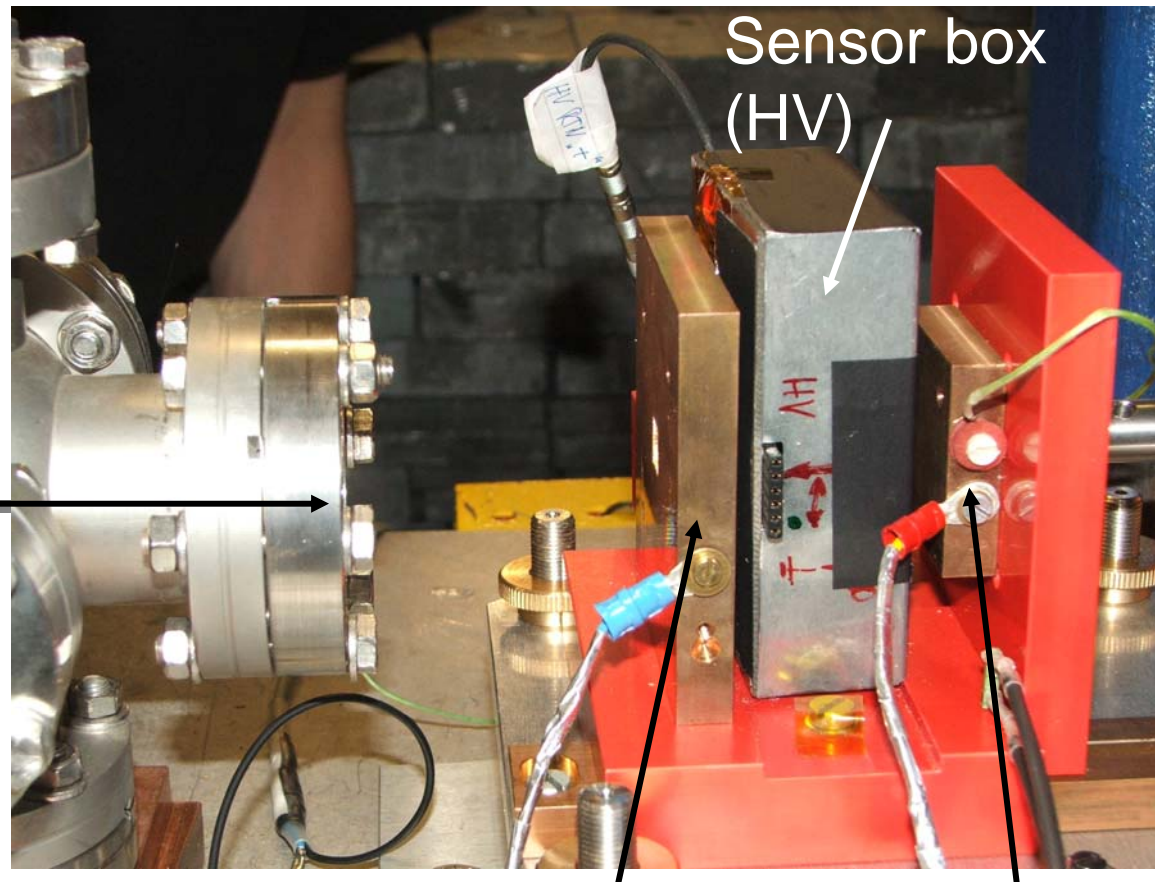


setup

Beam
area:



Beam exit window



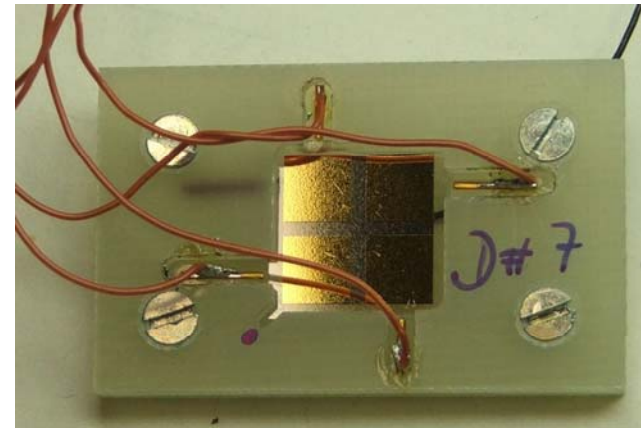
Collimator
(I_{Coll})

Faraday cup
($I_{\text{FC}}, T_{\text{FC}}$)

sensors

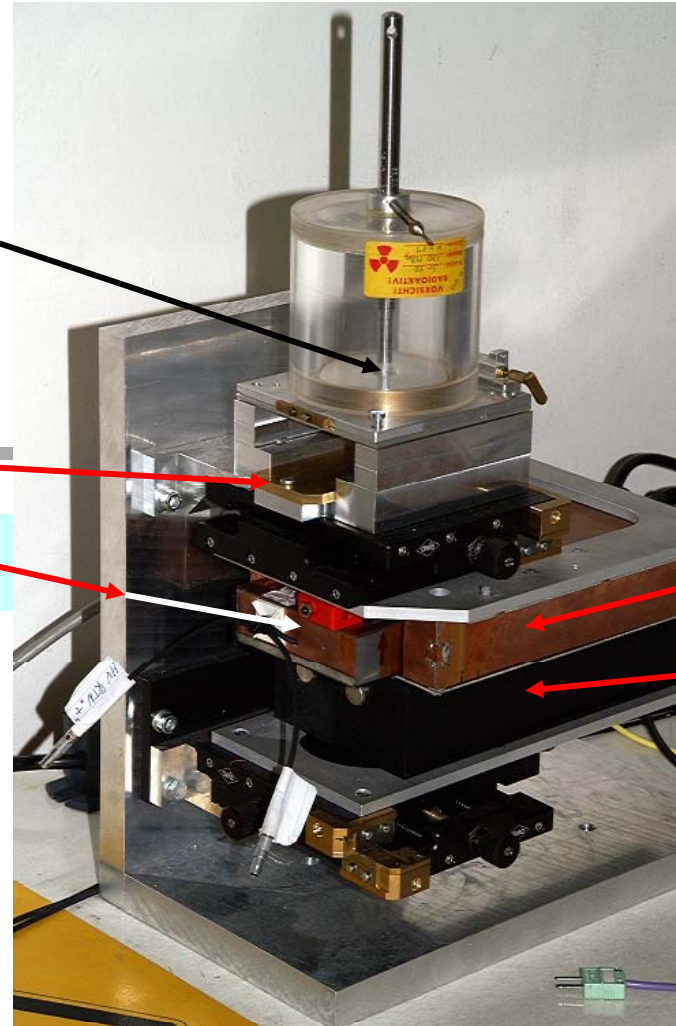
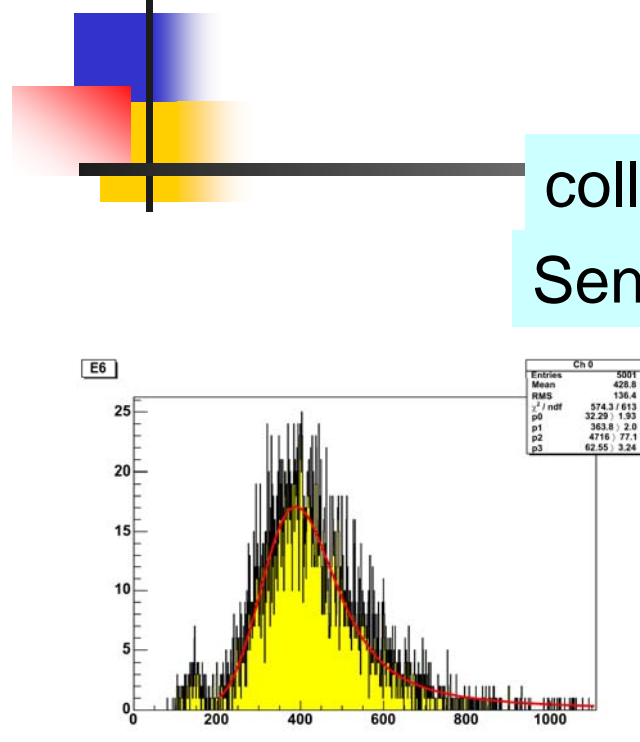
Investigate:

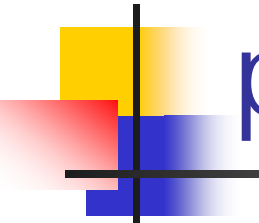
- diamond
 - samples from E6 (pCVD)
 - 1 MGy
 - 5 MGy
 - samples from IAF Freiburg
 - 1 MGy (pCVD)
 - 5 MGy
- Si
 - samples (Micron Ltd. UK)



SOURCE CALIBRATION

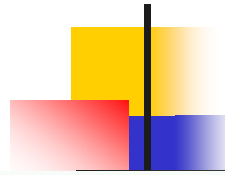
measurement:



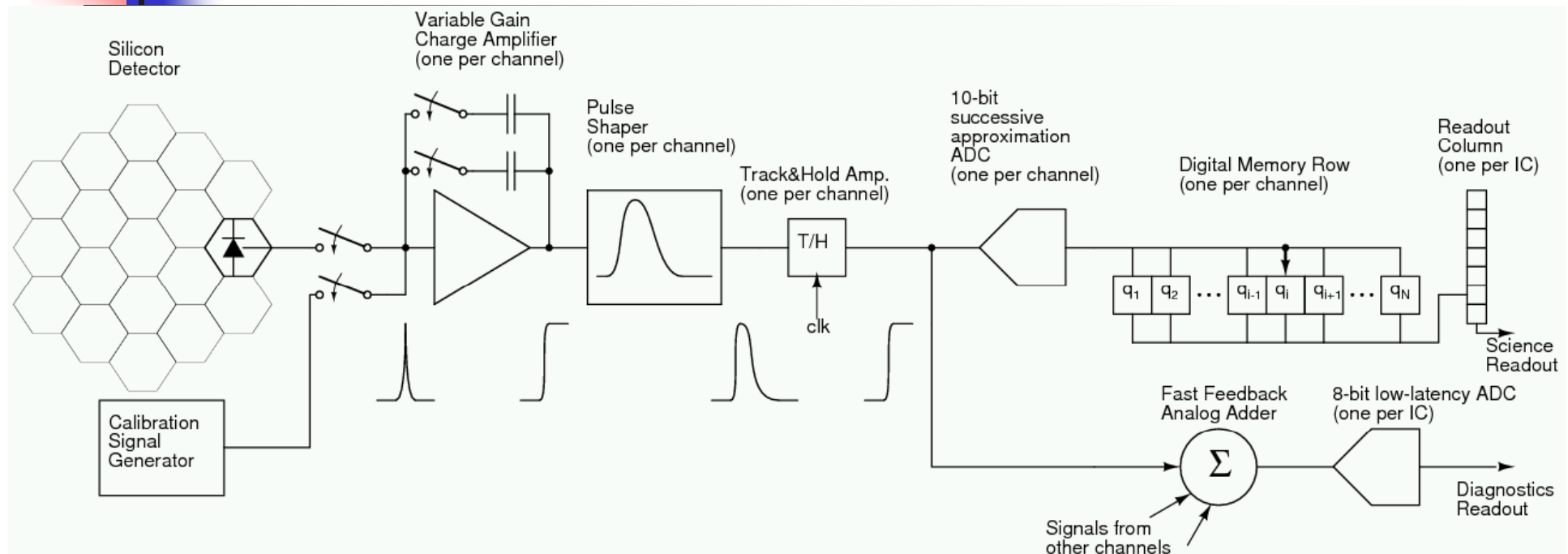


programme

- S/N
- S/N for high irradiation doses
- Comparison between different sensors
- Power dissipation
- Longterm behavior $I(t)$
- Electronics : Asic study (next step)



BeamCal electronics operation

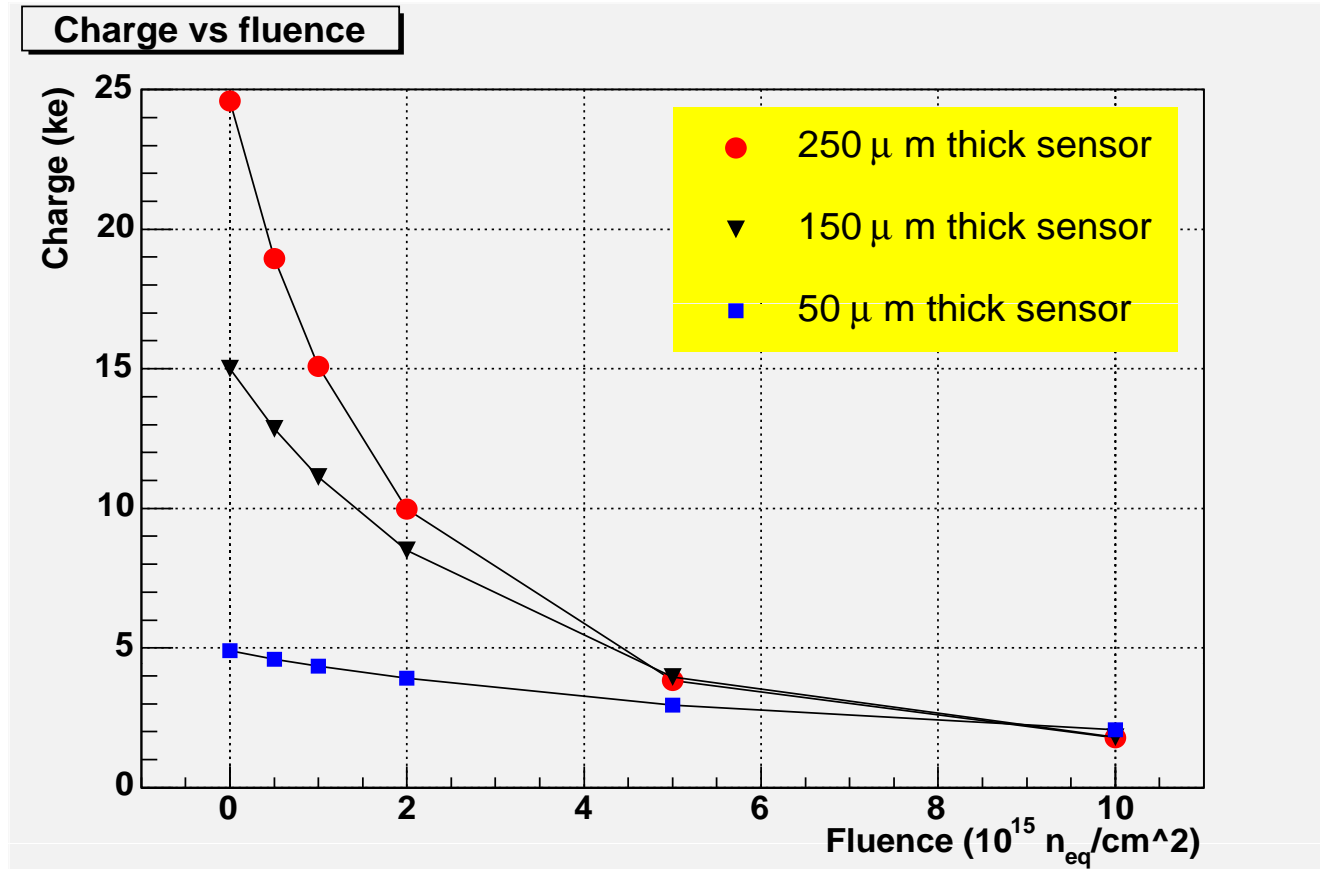


- Dual-gain front-end electronics: charge amplifier, pulse shaper and T/H circuit
- Successive approximation ADC, one per channel
- Digital memory, 2820 (10 bits + parity) words per channel
- Analog addition of 32 channel outputs for fast feedback; low-latency ADC

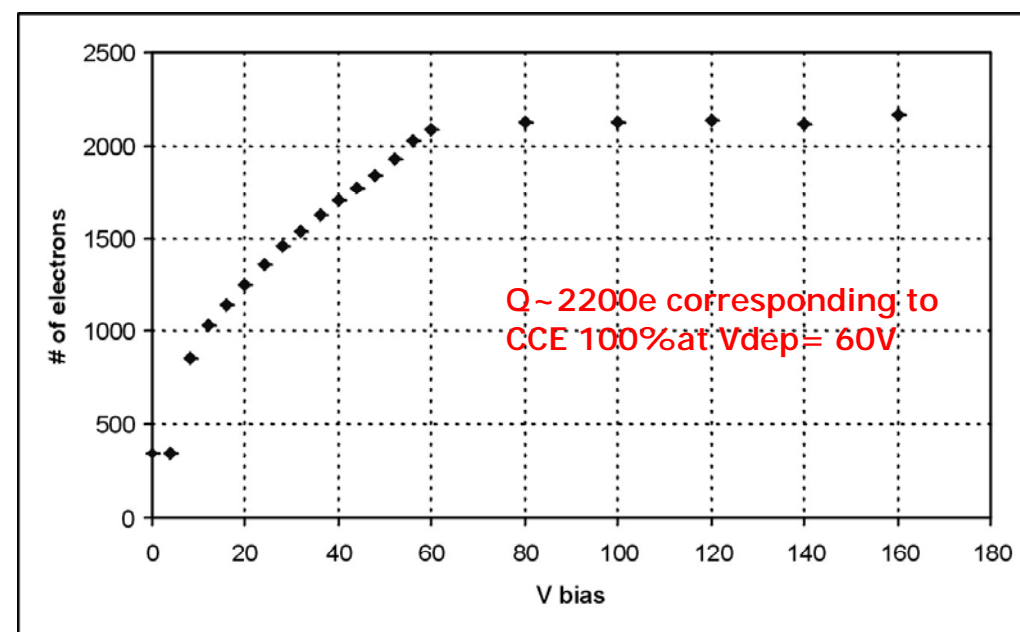
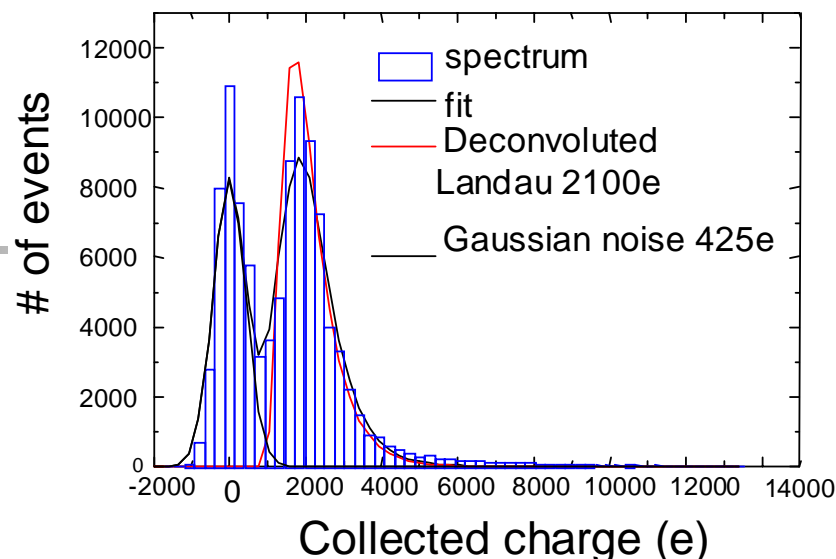
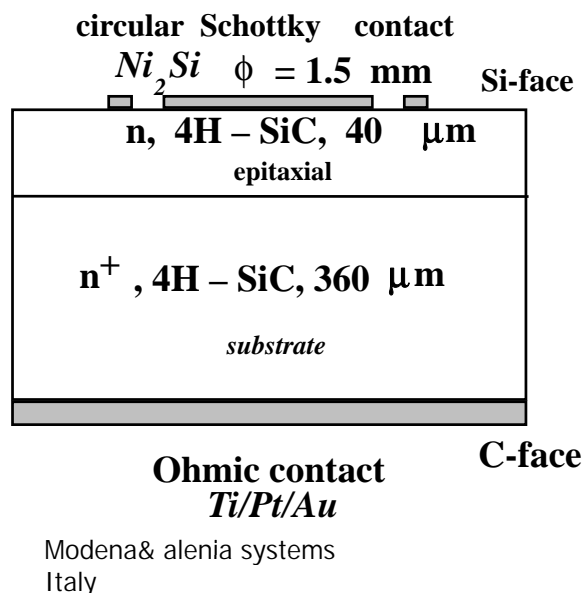


FIN

Why thin detectors ?



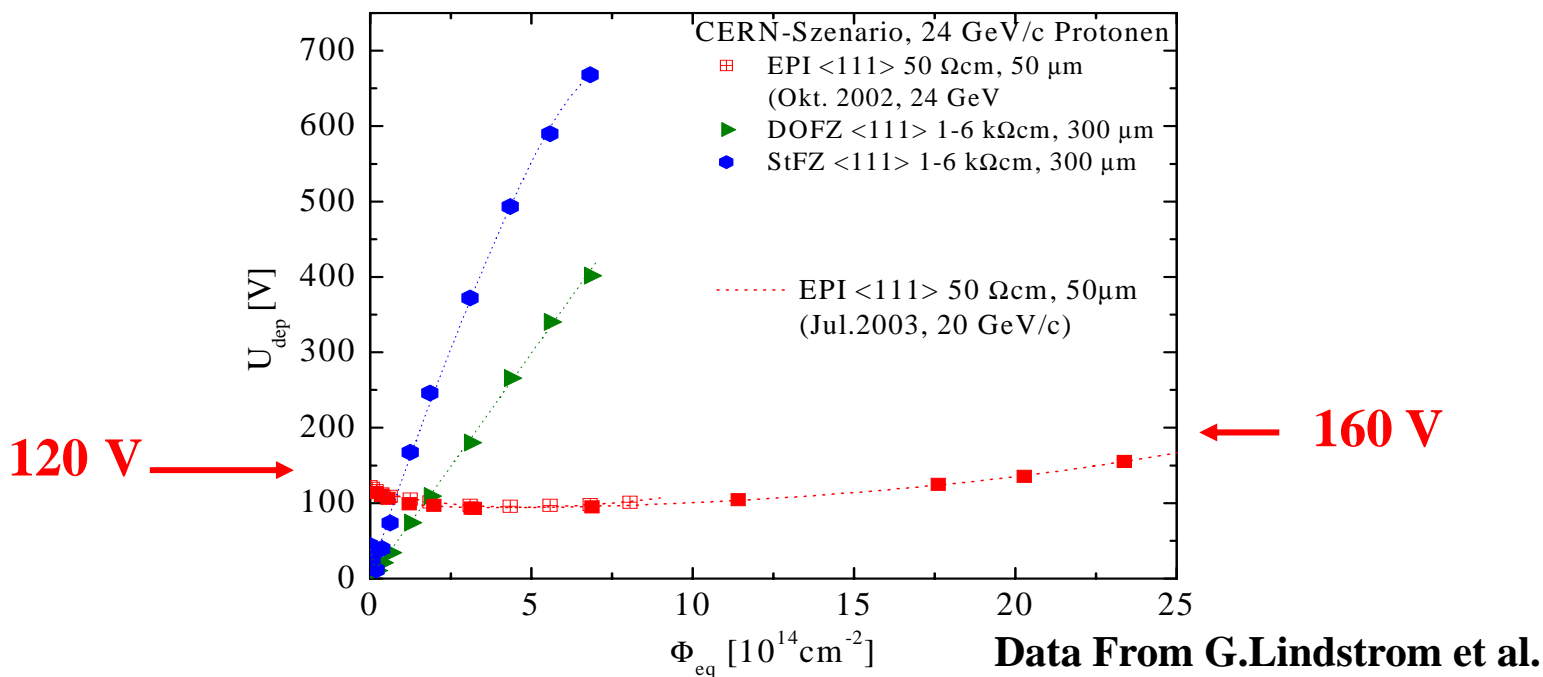
● Simulation



Data from F. Nava, S. Sciortino, M. Bruzzi et al., IEEE Trans. Nucl. Sci, (2004)

Silicium épitaxial

Utilisation de détecteurs fins (50-100 µm) avec une basse resistivité épitaxiale Si 50µm, 50Ωcm on CZ Si



ITME Varsovie

Pixels Hybrides

Hybrid Pixels Sensors: DéTECTeur soudé sur son électronique

DéTECTeur: Silicium de haute résistivité

système: Silicium + "électronique" au dessus du détecteur

Micro-Soudure par billes d'Indium ou SnPb

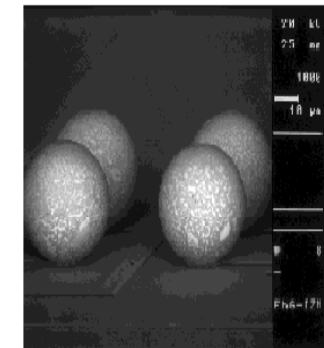
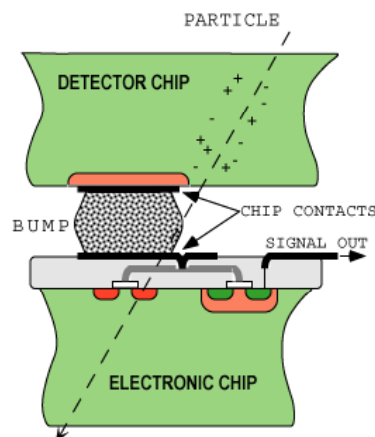
Résolution:

Très bonne tenue aux radiations:

pixels $100 \mu\text{m}$, résolution $\sim 15 \mu\text{m}$
 $10^{15} n_{\text{eq}}/\text{cm}^2$ 60 Mrad @ -6°C

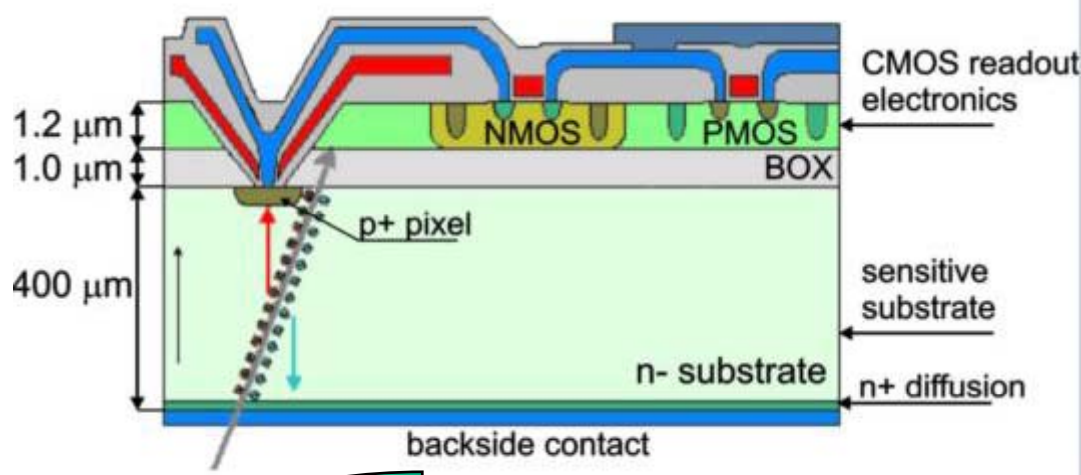
Transparence:

$0.2\text{-}0.4\% X_0$



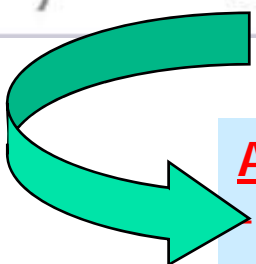
bumps: $50 \mu\text{m}$ pitch
PbSn or In
 $6\text{-}20 \mu\text{m}$ high

Silicium sur Oxyde : une voie d'avenir ?



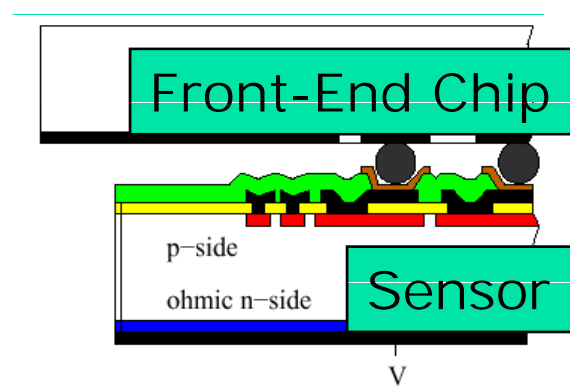
Avantages :

- Monolithique
- épaisseur totale réduite
- évite les problèmes de bondings
(réduit la capa, le bruit..)



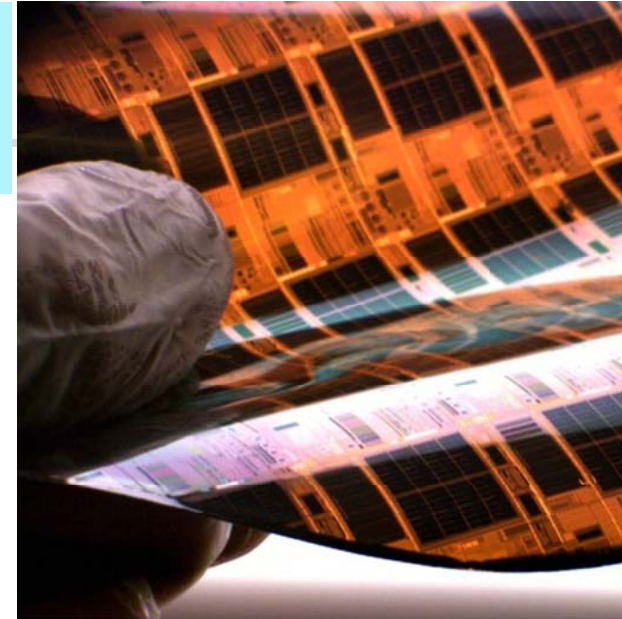
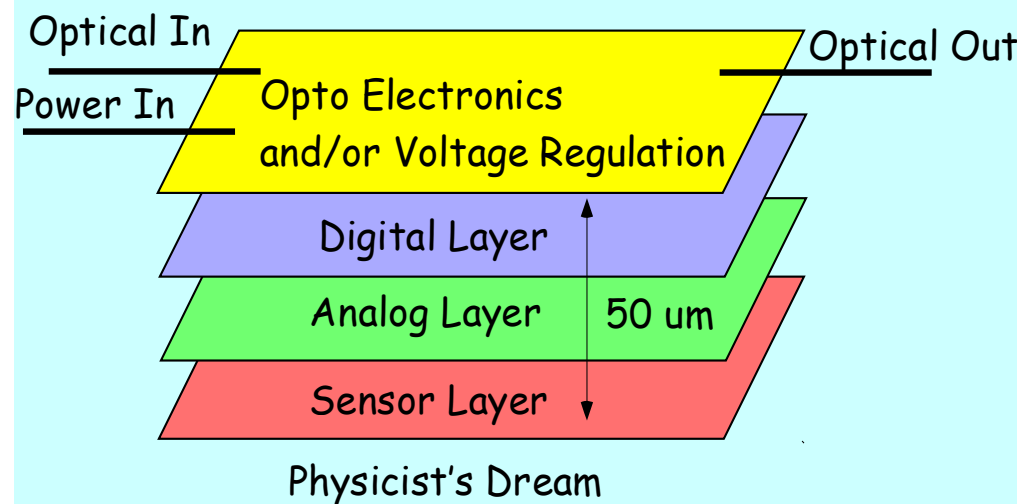
A condition de :

- Réduire l'épaisseur du substrat
- incorporer une électronique discriminante et amplificatrice
(aller dans le sens la techno 130 nm ou plus ?)



Vertical Scale Integration (3D)

Le principe : empilement de couches fines dotées de fonctionnalités spécifiques et indépendantes pouvant être conçues en technos variées.



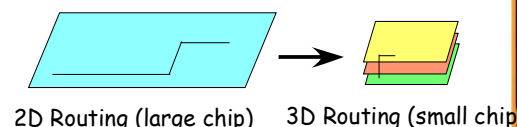
Avantages:

Réduction de R,L, C

Moins de pad entrées/sorties sur les puces (I/O pads)

Réduction des consommations et des diaphonies

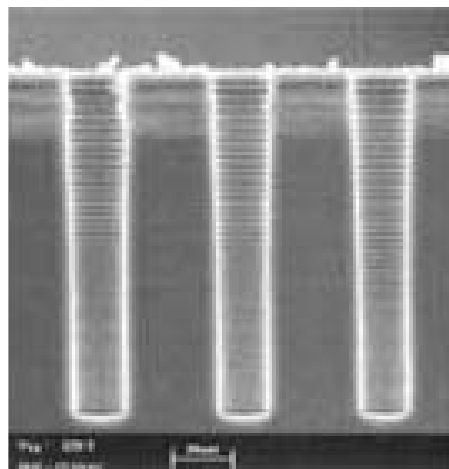
Augmentation des fonctionnalités (signal/bruit)



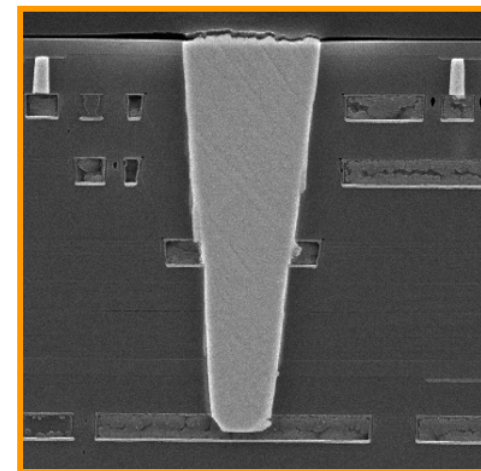
Key Technologies



SEM of 3 vias
using Bosch
process⁸



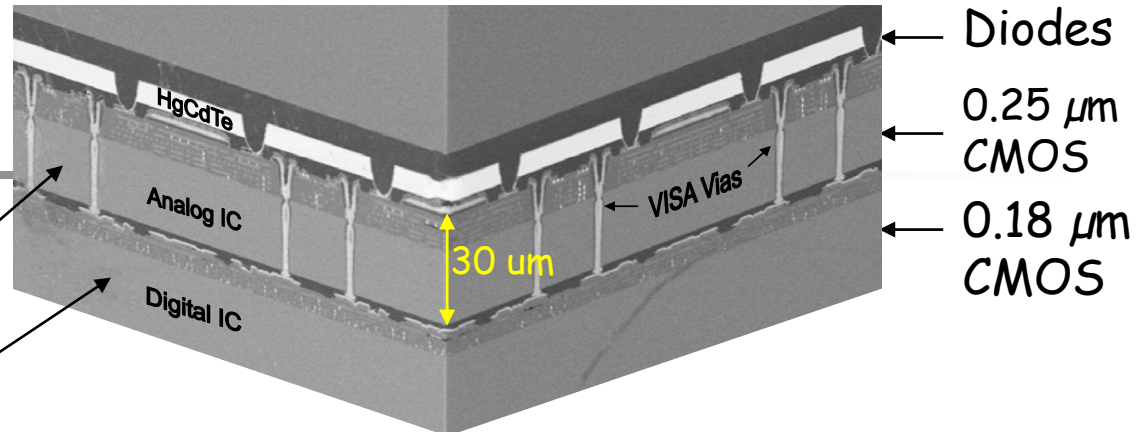
Via using
oxide etch
process
(Lincoln
Labs)



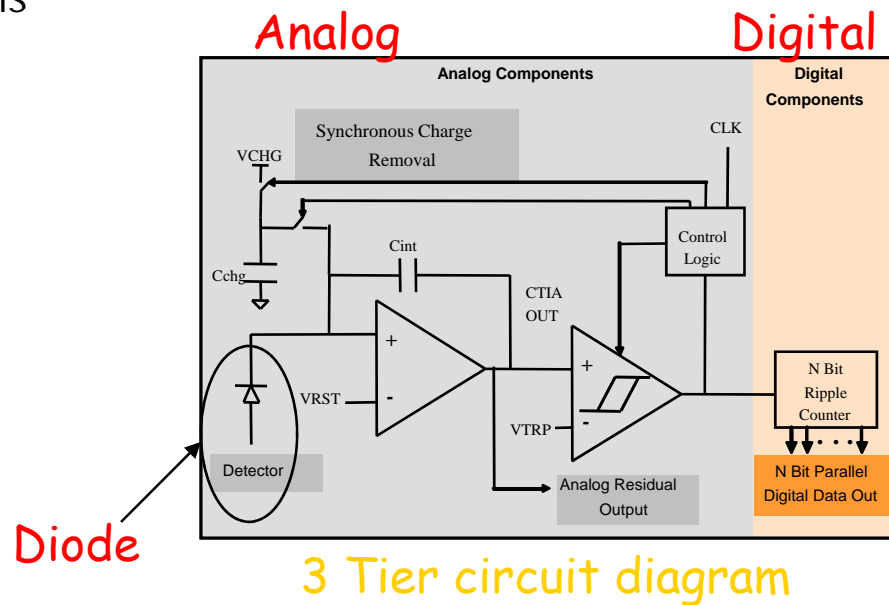
Typical diameters are 1-2 microns

RTI 3D Infrared Focal Plane Array

- 256 x 256 array with 30 μm pixels
- 3 Tiers
 - HgCdTe (sensor)
 - 0.25 μm CMOS (analog)
 - 0.18 μm CMOS (digital)
- Die to wafer stacking
- Polymer adhesive bonding
- Bosch process vias (4 μm) with insulated side walls
- 99.98% good pixels
- High diode fill factor



Array cross section

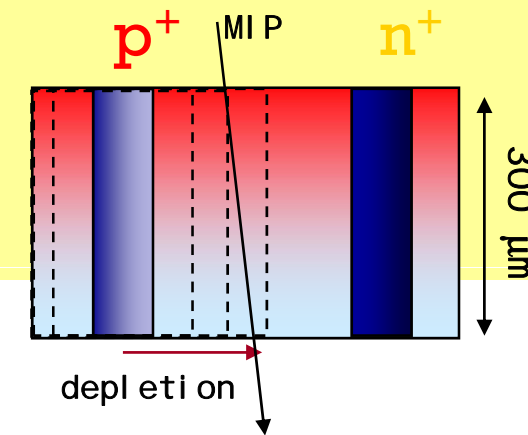
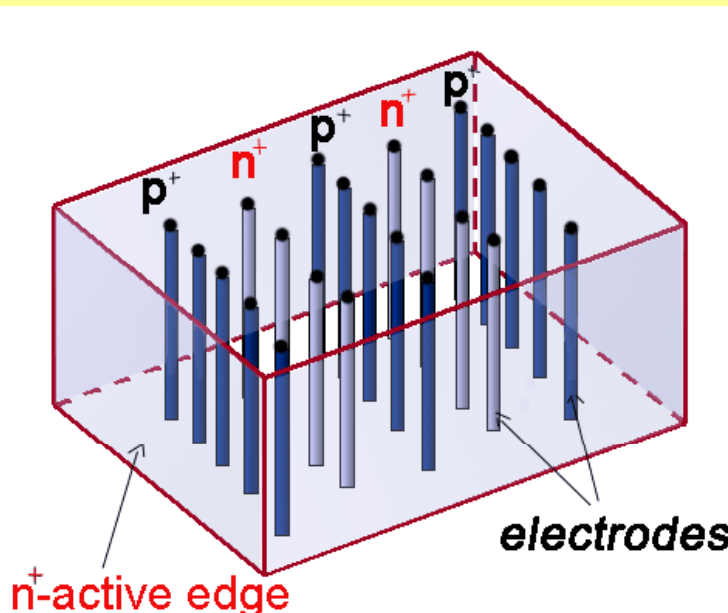


Infrared image

détecteurs -3D -

- ❖ Bords actifs, peu de zones mortes (sensibilité aux bords < 10µm)
- ❖ courte distance de collection
 - ❖ V depletion petit (~10V)
- ❖ rapide collection de charges(1 – 2 ns)
- ❖ épaisseur reste à 300 µm (signal)
- ❖ Durcissement aux radiations

$$V_{depletion} = \frac{q_0}{2\epsilon\epsilon_0} |N_{eff}| d^2$$



• S.I. Parker C.J. Kenney and J. Segal, NIMA 395 (1997) 328

3D are currently processed at the Stanford Nanofabrication Facility

